

## TD 13 – MÉCANIQUE EN COORDONNÉES CARTÉSIENNES

### 1. Dépassement d'un poids lourd

- (a) Étant donnée l'origine des dates et des abscisses, l'équation horaire  $x_{av}(t)$  de l'avant de la voiture est immédiate  $x_{av}(t) = \frac{1}{2}at^2 + v_0t$ , le mouvement de l'avant du camion est rectiligne uniforme et son abscisse vaut  $L + D$  à la date nulle donc  $X_{av}(t) = v_0t + D + L$ .
- (b) À la fin du dépassement, on a  $x_{arr} = x_{av} - d = X_{av} + L'$  d'où l'équation vérifiée par  $\Delta t$  :
- $$\frac{1}{2}at^2 + v_0t - d = v_0t + D + L + L' \text{ soit } \Delta t = \sqrt{\frac{2(D+L+L'+d)}{a}} = 6,8 \text{ s.}$$
- On en déduit  $L' = \Delta X_{av} = v_0 \Delta t = 72 \text{ km/h} \times 6,8 \text{ s} = 136 \text{ m}$

### 2. Choc

- (a) Pour la première voiture, on a  $v_{Ax}(t) = -a_A t + v$  de façon évidente\*, tant que  $t \leq \frac{v}{a_A} = 15 \text{ s}$  et

$$x_A(t) = -\frac{1}{2}a_A t^2 + vt + d \text{ car } x_A(0) = d \text{ pour } 0 \leq t \leq 15 \text{ s}$$

Pour la seconde voiture : pour  $t \leq \tau$ , on a  $v_{Bx} = v$  puis à partir de  $t = \tau$ , on a  $\frac{dv_{Bx}}{dt} = -a_B$  soit  $[v_{Bx}(t)]'_\tau = -a_B [t]'_\tau \Leftrightarrow v_{Bx}(t) - v_{Bx}(\tau) = -a_B(t - \tau)$  avec  $v_{Bx}(\tau) = v$  donc  $v_{Bx}(t) = -a_B(t - \tau) + v$  et ce, tant que  $v_{Bx} \geq 0$  donc pour  $\tau \leq t \leq \tau + \frac{v}{a_B}$  soit pour  $2 \text{ s} \leq t \leq 32 \text{ s}$

En intégrant un seconde fois, on a  $x_B(t) = vt$  pour  $t \leq \tau = 2 \text{ s}$  car  $x_B(0) = 0$ , et ensuite  $[x_B(t)]'_\tau = \left[ -\frac{1}{2}a_B(t - \tau)^2 + vt \right]'_\tau$  et comme  $x_B$  est continue en  $t = \tau$ , on a  $x_B(\tau) = v\tau$  ce qui donne  $x_B(t) = -\frac{1}{2}a_B(t - \tau)^2 + vt$  pour  $2 \text{ s} \leq t \leq 32 \text{ s}$ .

- (b) Supposons que le contact ait lieu avant que la seconde voiture décélère : on a alors pour la date de contact  $t_c$  :  $-\frac{1}{2}a_A t_c^2 + vt_c + d = vt_c$  soit  $t_c = \sqrt{\frac{2d}{a_A}} = 8,9 \text{ s} > \tau$ . L'hypothèse est donc fausse.

Supposons que le contact ait lieu pendant les deux phases de décélération :  $-\frac{1}{2}a_B(t_c - \tau)^2 + vt_c = -\frac{1}{2}a_A t_c^2 + vt_c + d$  soit  $(a_A - a_B)t_c^2 + 2a_B\tau t_c - (a_B\tau^2 + 2d) = 0$ .

La résolution donne comme seule date positive  $t_c = 11,0 \text{ s}$  à la position

$$x_c = -\frac{1}{2}a_B(t_c - \tau)^2 + vt_c \text{ soit } x_c = 289 \text{ m.}$$

\* Mouvement rectiligne : les vecteurs ne sont pas nécessaires, on raisonne avec des mesures algébriques sur l'accélération  $\vec{a}_A = \vec{a}_A \vec{u}_x = -a_A \vec{u}_x$

Si l'on raisonne en vectoriel, il faut factoriser  $\vec{u}_x$  à chaque étape.

### 3. Accéléromètre balistique

On procède à une étude dynamique :

Référentiel : Terre, galiléen

Système : Particule {M;m}

Contrainte : Mouvement rectiligne => axe (Oz) seul

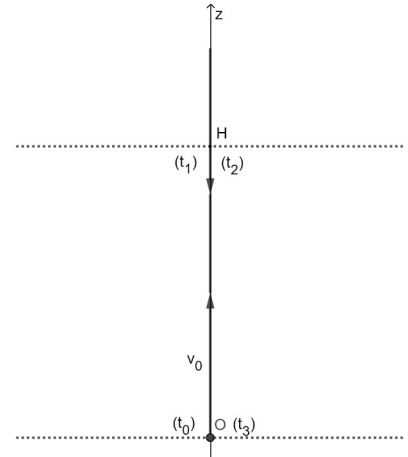
BdF : vide donc poids seulement (chute libre) :  $\vec{P} = m \vec{g}$

RFD :  $m \vec{a} = \vec{P}$  donc  $\vec{a} = \vec{g}$

mouvement à vecteur accélération constant, donc on intègre deux fois :

$[\vec{v}]'_0 = \vec{g} [t]'_0$  :  $\vec{v} - \vec{v}_0 = \vec{g} t$  ; sur (Oz) :  $\bar{v} = v_0 - g t$  ( $\bar{v}$  va changer de signe donc algébrique)

$[z]'_0 = v_0 [t]'_0 - g \left[ \frac{1}{2} t^2 \right]_0$  car  $\bar{v} = v_z = \dot{z}$  et  $z(0) = 0$  : on retrouve l'équation donnée.



La réponse n'apparaît pas directement : on trouve les dates en fonction de  $v_0$ ,  $H$  et  $g$ ...

- $t_0$  et  $t_3$  sont solutions de  $z(t) = 0$  :  $t \left( -\frac{1}{2} g t + v_0 \right) = 0$  donne immédiatement  $t_0 = 0$  et  $t_3 = \frac{2 v_0}{g}$   
:  $\Delta t_{\text{inf}} = \frac{2 v_0}{g}$

- $t_1$  et  $t_2$  sont solutions de  $z(t) = H$ , équation du second degré cette fois-ci complète :  
 $\frac{1}{2} g t^2 - v_0 t + H = 0$ .

Préférer de loin un nombre positif devant le terme de degré 2 !!

$\Delta = v_0^2 - 2 g H$ , évidemment une différence car il peut ne pas y avoir de solutions pour  $v_0$  trop petite...

$t_1$  est la plus petite des deux dates :  $t_1 = \frac{1}{g} \left( v_0 - \sqrt{v_0^2 - 2 g H} \right) = 0$  et donc

$$t_2 = \frac{1}{g} \left( v_0 + \sqrt{v_0^2 - 2 g H} \right) = 0 : \Delta t_{\text{sup}} = \frac{2}{g} \sqrt{v_0^2 - 2 g H}$$

Il faut éliminer  $v_0$  des équations :  $v_0 = \frac{g}{2} \Delta t_{\text{inf}}$ , puis  $\frac{g^2}{4} \Delta t_{\text{sup}}^2 = \frac{g^2}{4} \Delta t_{\text{inf}}^2 - 2 g H$ .

Ce n'est pas du second degré,  $g$  se simplifie :  $\frac{g}{4} \left( \Delta t_{\text{inf}}^2 - \Delta t_{\text{sup}}^2 \right) = 2 H$  (calcul !! : limiter l'apparition de

signes moins inutiles...) et finalement  $g = \frac{8 H}{\Delta t_{\text{inf}}^2 - \Delta t_{\text{sup}}^2}$ .

On vérifie par analyse dimensionnelle rapide que ce n'est pas nécessairement faux... (m/s<sup>2</sup>)

## 4. Chute verticale 1D freinée par des frottements turbulents

a) Référentiel : Terre, galiléen

Système : Mobile {M;m}

Contrainte : Mouvement rectiligne => axe (Oz)

BdF : poids  $\vec{P} = m \vec{g}$ ,  $\vec{f} = -k v^2 \vec{u}_z$

RFD :  $m \vec{a} = \vec{P} + \vec{f}$

Proj :  $m \frac{dv}{dt} = mg - kv^2$  soit  $\frac{dv}{dt} + \frac{1}{\alpha} v^2 = g$  (ou bien  $\alpha \frac{dv}{dt} + v^2 = \alpha g$ )

b) On raye les dérivées temporelles :  $\frac{1}{\alpha} v_p^2 = g$  donc  $v_p = \sqrt{\alpha g}$ .

Sur cette dernière équation par exemple :  $L.T^{-1} = \sqrt{[\alpha] L.T^{-2}}$ , donc  $[\alpha] = L$  :  $\alpha$  s'exprime en mètres.

c) On élimine  $g$  :  $\frac{dv}{dt} + \frac{1}{\alpha} v^2 = \frac{1}{\alpha} v_p^2$  #

d)  $\frac{dv}{v^2 - v_p^2} = -\frac{1}{\alpha} dt$  :  $\int_{v_0}^v \frac{dv}{v^2 - v_p^2} = -\frac{1}{\alpha} \int_0^t dt = -\frac{1}{\alpha} t$

e) Décomposition d'une fraction en éléments simples (très guidée) ; on identifie à partir du résultat :  $b \left( \frac{1}{v - v_p} - \frac{1}{v + v_p} \right) = \frac{b}{v^2 - v_p^2} (v + v_p - v + v_p) = \frac{2b v_p}{v^2 - v_p^2}$  donc  $b = \frac{1}{2 v_p}$

f) On en déduit  $\int_{v_0}^v \frac{dv}{v - v_p} - \int_{v_0}^v \frac{dv}{v + v_p} = -\frac{2}{\alpha} v_p t$ . Les primitives sont à connaître, et puisque  $v(t) > v_p, \forall t$  car freinage, pas besoin de valeur absolue dans le ln :

$[\ln(v - v_p)]_{v_0}^v - [\ln(v + v_p)]_{v_0}^v = -\frac{2}{\alpha} v_p t$  soit  $\left[ \ln \frac{v - v_p}{v + v_p} \right]_{v_0}^v = -\frac{2}{\alpha} v_p t$  ou encore

$\frac{v - v_p}{v + v_p} \frac{v_0 + v_p}{v_0 - v_p} = e^{-2v_p t / \alpha} = f(t)$  :  $(v - v_p)(v_0 + v_p) = f(t)(v + v_p)(v_0 - v_p)$

$v[(v_0 + v_p) - f(t)(v_0 - v_p)] = v_p(v_0 + v_p) + f(t)v_p(v_0 - v_p) = v_p[(v_0 + v_p) + f(t)(v_0 - v_p)]$  #

g)  $v(0) = v_p \frac{(v_0 + v_p) + 1 \cdot (v_0 - v_p)}{(v_0 + v_p) - 1 \cdot (v_0 - v_p)} = v_p \frac{2v_0}{2v_p} = v_0$  et  $v_\infty = v_p \frac{(v_0 + v_p) + 0 \cdot (v_0 - v_p)}{(v_0 + v_p) - 0 \cdot (v_0 - v_p)} = v_p$  : cohérent.

## 6. Skieur sur un tire-fesse

Référentiel : terrestre, galiléen

Système : skieur M de masse m

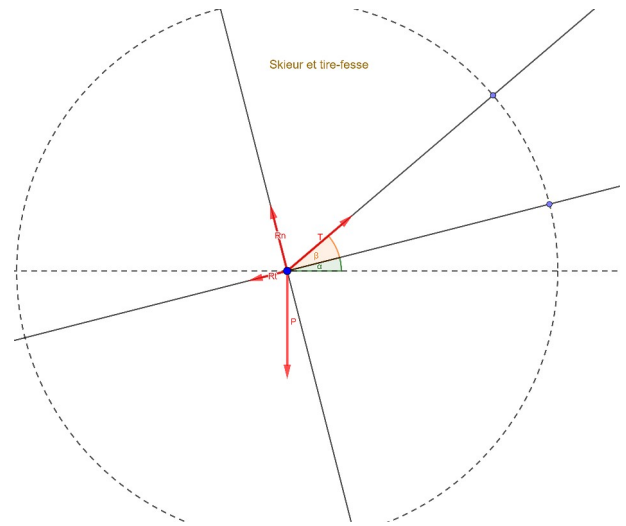
Contrainte : mouvement selon la piste, donc rectiligne ; de plus, il est uniforme :  $\vec{a} = \vec{0}$

BdF : Poids  $\vec{P}$ , traction de la perche  $\vec{T}$ ,

réaction normale  $\vec{R}_N$ , réaction tangentielle (frottements solides)  $\vec{R}_T$ , vérifiant la loi de Coulomb : glissement donc  $R_T = f R_N$

PFD :  $\vec{P} + \vec{T} + \vec{R}_N + \vec{R}_T = \vec{0}$

Projections : Axes selon le mouvement (Ox) et perpendiculaire au mouvement (Oy), les deux vers le haut.



Donc  $\vec{R}_N = \begin{pmatrix} 0 \\ +R_N \end{pmatrix}$ ,  $\vec{R}_T = \begin{pmatrix} -R_T \\ 0 \end{pmatrix}$  de façon évidente ;  $\vec{T} = \begin{pmatrix} T \cos \beta \\ T \sin \beta \end{pmatrix}$  (classique) ; plus délicat pour le poids :  $(\vec{P}; \vec{u}_x) = \frac{\pi}{2} + \alpha$ , donc  $(\vec{P}; \vec{u}_y) = \frac{\pi}{2} + \alpha + \frac{\pi}{2}$  soit  $\vec{P} = \begin{pmatrix} -P \sin \alpha \\ -P \cos \alpha \end{pmatrix}$  (Vérification :  $\vec{P}$  est bien plutôt vers l'arrière de chacun des vecteurs unitaires, d'où les signes).

Donc 
$$\begin{cases} -P \sin \alpha + T \cos \beta + 0 - R_T = 0 \\ -P \cos \alpha + T \sin \beta + R_N + 0 = 0 \\ R_T = f R_N \end{cases}$$
, où il faut se débarrasser des réactions.

Soit  $-P \sin \alpha + T \cos \beta + 0 = f(P \cos \alpha - T \sin \beta)$  :  $T = mg \frac{\sin \alpha + f \cos \alpha}{f \sin \beta + \cos \beta}$

## 7. Peintre ingénieur

- (a) Le peintre exerce sur la corde une force vers le bas  $\vec{F} = -F \vec{u}_z$  (on choisit l'orientation de l'axe vertical vers le haut). D'après la troisième loi (actions réciproques), la corde exerce donc en retour la force  $\vec{F}' = -\vec{F} = +F \vec{u}_z$ .

L'autre extrémité de la corde exerce sur la chaise la force, transmise par la poulie,  $\vec{F}' = -\vec{F} = +F \vec{u}_z$ .

Utilisons le système {peintre + chaise} : le PFD donne  $(M + m) \vec{a} = (M + m) \vec{g} + 2 \vec{F}'$ , soit en

projetant sur l'axe (Oz) :  $a_z = -g + \frac{2F}{M + m}$  soit  $a_z = +3,14 \text{ m/s}^2$  : le peintre parvient bien à s'élever.

- (b) Choisissons maintenant le système {chaise}, dont l'accélération est la même.  
BdF : poids, force peintre / chaise vers le bas, force corde / chaise vers le haut.  
Le PFD s'écrit :  $m \vec{a} = m \vec{g} + \vec{F}_{P/Ch} + \vec{F}'$  soit  $F_{P/Ch, z} = F - m(a_z + g) = +486 \text{ N}$ .  
Cette force est inférieure au poids du peintre.

## 8. Coup franc

1. a) La seule force qui s'exerce sur le ballon au cours du mouvement étant son poids, on en déduit que  $\vec{a} = \vec{g}$  en utilisant la deuxième loi de Newton.

Ceci entraîne que  $\ddot{x} = 0$ , puis  $\dot{x} = V_0 \cos \alpha$ , puis  $x(t) = (V_0 \cos \alpha)t$  pour le mouvement sur l'axe (Ox), et  $\ddot{y} = -g$ , puis  $\dot{y} = -gt + V_0 \sin \alpha$ , puis  $y(t) = -\frac{g}{2}t^2 + (V_0 \sin \alpha)t$  en projection sur l'axe (Oy). L'équation de la trajectoire, dans le plan (Oxy) est donc :

$$y(x) = -\frac{g}{2V_0^2 \cos^2 \alpha} x^2 + (\tan \alpha)x.$$

✍ On pourrait vérifier qu'il n'y a pas de mouvement sur (Oz).

b) Le ballon passe au-dessus du mur si  $y(x_{\text{mur}}) \geq 1,90$  m. AN  $y(x_{\text{mur}}) = 2,17$  m, donc le ballon passe au-dessus du mur.

c) Le tir est cadré si  $y(x_{\text{but}}) \leq 2,44$  m. AN  $y(x_{\text{but}}) = 1,73$  m, donc le tir est cadré.

2. a) On prend maintenant en compte la force de frottement  $\vec{F}$ , ce qui donne, en appliquant la deuxième loi de Newton :  $\vec{P} + \vec{F} = m\vec{a}$ . Projections sur (Ox) et (Oy) (en supposant toujours qu'il n'y a pas de mouvement sur (Oz)) :  $m\ddot{x} = -h\dot{x}$  (1) et  $m\ddot{y} = -mg - h\dot{y}$  (2).

(1) s'écrit aussi  $v_x + \tau \frac{dv_x}{dt} = 0$  et admet une solution du type  $Ae^{-\frac{t}{\tau}}$ , où A est une constante qui

se détermine par la condition  $v_x(0) = V_0 \cos \alpha$  : on obtient  $v_x(t) = V_0 \cos \alpha e^{-\frac{t}{\tau}}$  (3).

(2) s'écrit  $v_y + \tau \frac{dv_y}{dt} = -g\tau$  et admet pour solution  $Be^{-\frac{t}{\tau}} + C$  où B est une constante à déterminer par les conditions initiales et C une solution particulière de (2).

En cherchant C sous la forme d'une constante, on trouve  $C = -g\tau$ , puis en utilisant la condition

$v_y(0) = V_0 \sin \alpha$ , on trouve  $B = V_0 \sin \alpha + g\tau$ , ce qui donne  $v_y(t) = [V_0 \sin \alpha + g\tau]e^{-\frac{t}{\tau}} - g\tau$  (4).

On intègre alors (3) et (4) en tenant compte des conditions initiales  $x(0) = y(0) = 0$  :

$$x(t) = V_0 \tau \cos \alpha \left[ 1 - e^{-\frac{t}{\tau}} \right] \quad \text{et} \quad y(t) = (V_0 \tau \sin \alpha + g\tau^2) \left( 1 - e^{-\frac{t}{\tau}} \right) - g\tau t.$$

✎ Les constantes d'intégrations ne sont pas toujours nulles !

b) On utilise la première équation pour exprimer t :  $t = -\tau \ln \left( 1 - \frac{x}{V_0 \tau \cos \alpha} \right)$  et on reporte cette

expression dans la deuxième :  $y(x) = \left( \tan \alpha + \frac{g\tau}{V_0 \cos \alpha} \right) x + g\tau^2 \ln \left( 1 - \frac{x}{V_0 \tau \cos \alpha} \right)$ .

c) On calcule  $y(x_{\text{mur}}) = 2,17$  m et le ballon passe donc au-dessus du mur.

d)  $y(x_{\text{but}}) \approx 1,73$  m : le tir est cadré. On constate que les frottements ont peu d'influence sur ce mouvement (car il n'est pas très rapide donc la force de frottement est restée assez faible).